

UO₂-Gd₂O₃ 소결체에서 Gd₂O₃ 첨가가 소결 및 재소결밀도에 미치는 영향

백종혁

한국원자력연구소

Effect of Gd₂O₃ Addition on the Sintered Density and Resintered Density in UO₂-Gd₂O₃ Pellets

Jong-Hyuk Baek

Korea Atomic Energy Research Institute

초록 ex-AUC UO₂ 분말과 Gd₂O₃ 분말을 기계적으로 혼합하여 소결한 UO₂-Gd₂O₃ 소결체의 밀도 변화와 재소결 후 밀도변화를 기공크기 및 분포의 변화로 서술하였다. 순수 UO₂의 소결밀도는 97.2% T.D.였으나 6wt% Gd₂O₃ 첨가까지는 UO₂-Gd₂O₃의 소결밀도는 U⁴⁺와 Gd³⁺의 상호확산 때문에 약 90% T.D.로 급격히 감소하였다. 그러나 6wt% 이상의 Gd₂O₃가 첨가되면 우라늄이온 산화와 산소침입으로 인하여 소결밀도는 오히려 증가하였다. 1700°C에서 재소결시킬 때 순수 UO₂ 소결체에서는 재소결 시간에 따라 밀도증가가 발생하였다. UO₂-Gd₂O₃ 소결체 경우에는 재소결시 밀도가 감소하였으나 재소결 시간이 증가함에 따라 다시 밀도는 증가하였고, 6wt% Gd₂O₃가 첨가된 UO₂-Gd₂O₃ 소결체에서 밀도가 가장 많이 감소하였다.

Abstract After mixing with ex-AUC UO₂ and Gd₂O₃ powder, the mixed powder was directly pressed without binder and sintered at 1750°C, for 4h in a hydrogen atmosphere. After sintering, the density was measured for by the water immersion method. The sintered density of pure UO₂ pellets was 97.2% T.D.. A reduced sinterability was observed for UO₂-Gd₂O₃ pellets containing up to 6wt% Gd₂O₃, because the U⁴⁺ and Gd³⁺ ions interdiffused into Gd₂O₃ and UO₂ lattice, respectively. Above 6wt% addition, owing to uranium ion oxidation and oxygen interstitial, the sintered density increased with the Gd₂O₃ content. After resintering at 1700°C, the density of pure UO₂ pellets increased while that of UO₂-Gd₂O₃ pellets decreased. Among UO₂-Gd₂O₃ pellets, the density decrease was the largest for UO₂-6wt% Gd₂O₃ pellets. The decrease in density of UO₂-Gd₂O₃ pellets was reduced with increasing the resintering times.

1. 서 론

가압경수로에서는 가연성 독물질을 사용하여 원자로 운전초기에 감속계수(moderator coefficient)를 음(negative)으로 유지함으로써 노내 출력분포를 균일하게 하고 있다.^{1,2)} 가연성 독물질은 중성자 흡수 단면적이 커야하며, 중성자 흡수후에 생성된 핵종은 중성자 흡수 단면적이 작아야 한다. 이런 핵적 관점에서 gadolinium은 매우 적합한 가연성 독물질이다. 현재 핵연료 연소도를 증배시키기 위하여 첨가되는 산화물 형태의 Gd₂O₃는 UO₂ 분말과 기계적으로 혼합되어 사용되고 있으며, 그 함량은 6~9wt%까지 증가시키고 있는 추세이다.³⁾

현재까지 수행한 대부분의 연구에서^{4,5,6.)} UO₂-Gd₂O₃를 수소 분위기에서 소결할 경우 소결밀도가 Gd₂O₃ 첨가량에 따라 선형적으로 감소한다고 하였다. 그러나 Ho와 Radford⁷⁾는 wet 수소 분위기 1750°C에서 6시간 소결했을 때 4~8wt%의 Gd₂O₃가 첨가된 소결체가 최대의 소결밀도를 갖는다고 발표하였다. Manzel과 Dorr⁸⁾는 dilatometer 분석을 통해 수소 분위기에서 순수 UO₂와 UO₂-4wt% Gd₂O₃의 소결거동을 연구하였다. 그들은 UO₂-4wt% Gd₂O₃ 소결체는 1200°C 이상에서 고용체상(solid solution phase)을 형성하여 수축(shrinkage)을 지연시키므로 1750°C에서 4시간 동안 소결하였을 때 최종 소결밀도는 순수 UO₂보다

작아진다고 발표하였다. 이와 같이 UO_2 에 Gd_2O_3 를 첨가함에 따라 소결밀도의 감소를 예측할 수 있으나 AUC(Ammonium Uranyl Carbonate)공정으로 제조된 국산 UO_2 분말을 사용한 $\text{UO}_2\text{-Gd}_2\text{O}_3$ 소결체의 밀도변화에 대한 자료는 거의 없는 실정이다.

본 연구에는 국산 ex-AUC UO_2 분말에 Gd_2O_3 를 첨가함에 따른 소결밀도와 기공도 변화를 서술하고, 소결체의 열적안정성을 평가하기 위하여 재소결 시켰을 때 시간과 Gd_2O_3 양이 밀도변화와 기공도 변화에 어떠한 영향을 미치는지 규명하고자 하였다.

2. 실험

사용된 UO_2 분말은 한국원자력연구소에서 AUC공정으로 제조한 것이다. UO_2 분말의 성질을 표 1에 나타냈다. UO_2 분말의 O/U비가 2.23, 수분함량이 2500ppm인 것은 장기간 보관하면서 산화되고 공기 중의 수분을 흡수했기 때문이라 추정된다. 또한 사용된 Gd_2O_3 분말은 Aldrich Chemical Co. Ltd에서 시약용으로 제조한 것으로 순도는 99.9%이며, 평균 입자크기는 $8.45\mu\text{m}$ 정도였다.

Table 1. Properties of ex-AUC UO_2 powder

성질	값
겉보기 밀도 [g /cm ³]	2.32
O/U 비	2.23
수분함량 [ppm]	2500
평균 입자크기 [μm]	19.5
BET 비표면적 [m^2/g]	4.5

균질한 $\text{UO}_2\text{-Gd}_2\text{O}_3$ 혼합분말을 제조하기 위하여 먼저 Gd_2O_3 분말 36 g과 UO_2 분말 90 g을 24시간 동안 마스터 혼합(master blending)한 후, UO_2 분말 양을 변화시키며 혼합하여 최종 Gd_2O_3 함량이 3, 6, 9, 12wt%인 혼합분말을 제조하였다.

성형 다이(die) 벽에 zinc stearate를 도포한 상태에서 혼합분말을 4,000kg/cm³의 압력으로 압분하여 직경과 길이가 각각 약 10mm, 8.5mm인 원주형 압분체를 제조하였다. 이 때 기하학적 방법으로 측정한 압분밀도는 54.6~57.0 % T.D.¹⁾ 범위에 있었다.

압분체를 수소 분위기 소결로에 넣고 1750 °C까지 승온 속도 500°C/hr로 일정하게 승온하여 4시간 동안 유지한 후, 700°C/hr로 냉각시켜서 소결체를 제조하였다. 소결 후 모든 소결체는 침수법(water immersion method)²⁾을 이용하여 밀도와 개기공도를 측정하였으며, 길이 방향으로 절단하여 연마한 후 Image Analyzer를 이용하여 기공의 크기분포를 측정하였다. 열적안정성을 평가하기 위해 소결체를 소결조건과 같은 분위기와 승온속도로 1700°C까지 가열한 다음 5, 12, 24시간 동안 유지한 후 700°C/hr로 냉각시켰다. 재소결 후 밀도 및 기공도 변화를 소결 후 측정한 방법과 동일하게 측정하였다.

¹⁾% T.D.는 UO_2 이론밀도(10.96 g/cm^3)와 Gd_2O_3 이론밀도(7.41 g/cm^3)를 첨가된 Gd_2O_3 함량에 따라 내삽(interpolation)하여 계산하였다.

3. 결과 및 토의

3.1 소결밀도

그림 1은 수소분위기 1750°C에서 4시간 소결하였을 때 Gd_2O_3 함량에 따른 소결 밀도의 변화를 보여주고 있다. 순수 UO_2 소결체의 소결밀도는 약 97.2% T.D. 이었으나, $\text{UO}_2\text{-Gd}_2\text{O}_3$ 경우는 Gd_2O_3 가 6wt%까지 첨가됨에 따라 소결밀도는 약 90% T.D.로 급격히 감소하였다. 그러나 6wt% 이상의 Gd_2O_3 가 첨가되면 오히려 소결밀도는 본 연구가 수행된 범위 내에서는 다시 증가하는 경향을 보였다. 이와 같은

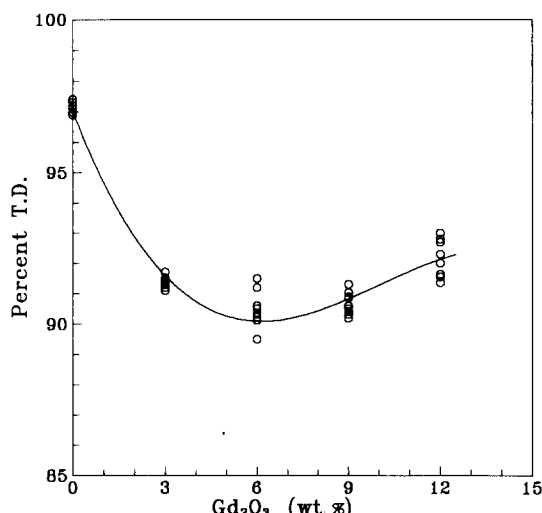


Fig. 1. Effect of Gd_2O_3 additions on the sintered density

소결밀도 변화는 ex-AUC UO_2 분말과 Gd_2O_3 분말을 기계적으로 혼합하여 1650°C, 수소분위기에서 소결한 Riella 등⁽⁹⁾이 얻은 결과의 경향과 비교적 잘 일치하고 있으며, Assmann과 Peehs⁽¹⁰⁾의 결과와는 잘 일치하였다.

UO_2 에 Gd_2O_3 가 첨가된 소결체와 순수 UO_2 소결체의 개기공도는 서로 다른 집단군을 형성하고 있음을 그림 2에 보여주고 있다. UO_2 소결체의 개기공도는 1.5% 미만인 반면에 $\text{UO}_2\text{-Gd}_2\text{O}_3$ 소결체는 4~7%이었다.

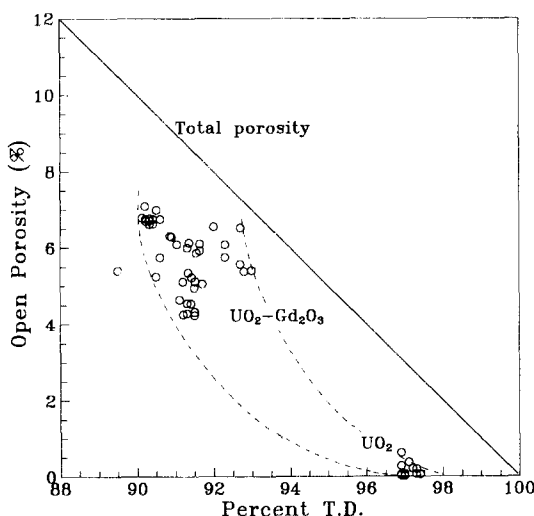


Fig. 2. Dependence of open porosity upon theoretical density for UO_2 and $\text{UO}_2\text{-Gd}_2\text{O}_3$ pellets

그림 3은 Gd_2O_3 첨가량에 따른 소결 후 기공도의 변화를 나타내고 있다. 그림 1에서 살펴본 바와 같이 소결밀도가 최소가 되는 6wt %의 Gd_2O_3 를 첨가한 소결체에서 개기공도는 최대가 되었으며, 그 이상의 범위에서는 완만하게 감소하였다. 이로 말미암아 폐기공도는 6wt %의 Gd_2O_3 를 첨가한 소결체에서 최대였으며, 이 이상의 범위에서는 감소하는 경향을 보이고 있다.

그림 4는 $\text{UO}_2\text{-Gd}_2\text{O}_3$ 소결체의 기공도를 보여주는 조직사진이다. 6wt % Gd_2O_3 가 첨가된 $\text{UO}_2\text{-Gd}_2\text{O}_3$ 소결체의 기공이 다른 함량의 Gd_2O_3 가 첨가된 $\text{UO}_2\text{-Gd}_2\text{O}_3$ 소결체와 비교하여 많고 크다는 것을 알 수 있다. 이 조직사진 결과는 그림 1과 3에 대하여 전술한 소결밀도 및 기공도 변화와 일치하고 있다. 즉 소결밀도가 최소가 되는 $\text{UO}_2\text{-}6\text{wt \% Gd}_2\text{O}_3$ 소결체

에서 기공의 크기 및 양은 최대였으며, 6wt % 이상 첨가되면 기공 크기 및 양은 감소하였다.

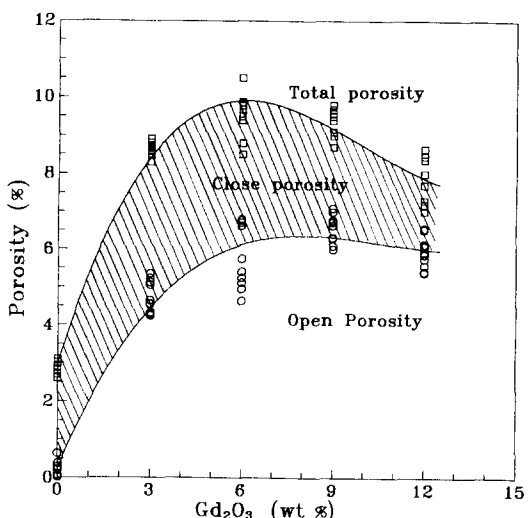


Fig. 3. Porosity variation with Gd_2O_3 contents

그림 5는 Image Analyzer를 이용하여 분석한 순수 UO_2 소결체와 $\text{UO}_2\text{-Gd}_2\text{O}_3$ 소결체의 기공분포를 나타내고 있다. UO_2 에 Gd_2O_3 가 첨가되면 큰 기공이 많아져서 분포는 오른쪽으로 이동하였다. 특히 소결밀도가 최소인 $\text{UO}_2\text{-}6\text{wt \% Gd}_2\text{O}_3$ 소결체가 가장 많이 오른쪽으로 이동하였다.

UO_2 에 Gd_2O_3 가 첨가되면 순수 UO_2 와 서로 다른 소결거동을 갖는다. 왜냐하면 $\text{UO}_2\text{-Gd}_2\text{O}_3$ 는 소결 중에 수축과 동시에 고용상(solid solution phase)을 만들고 U:Gd:O의 복잡한 상(phase) 때문에 확산계수가 변하기 때문이다. 이와 같은 현상을 규명하기 위한 연구는 많은 사람들의 관심의 대상이었다. Manzel과 Dorr는 ex-AUC UO_2 에 4wt % Gd_2O_3 를 첨가하여 소결하면 Gd^{3+} 이온은 UO_2 격자내로, U^{4+} 이온은 Gd_2O_3 격자내로 상호확산(interdiffusion)되어 소결속도를 감소시킨다고 하였다. 그림 1에서 살펴본 바와 같이 6wt % 까지 Gd_2O_3 가 첨가되었을 때 $\text{UO}_2\text{-Gd}_2\text{O}_3$ 의 소결밀도 감소는 Manzel과 Dorr가 주장한 상호확산 현상에 의한 것이라고 추측된다. 그러나 6wt % 이상의 Gd_2O_3 를 첨가하였을 때 소결밀도가 증가하는 것은 $\text{UO}_2\text{-Gd}_2\text{O}_3$ 소결체에서 치밀화(densification)현상이 일어나고 있음을 미

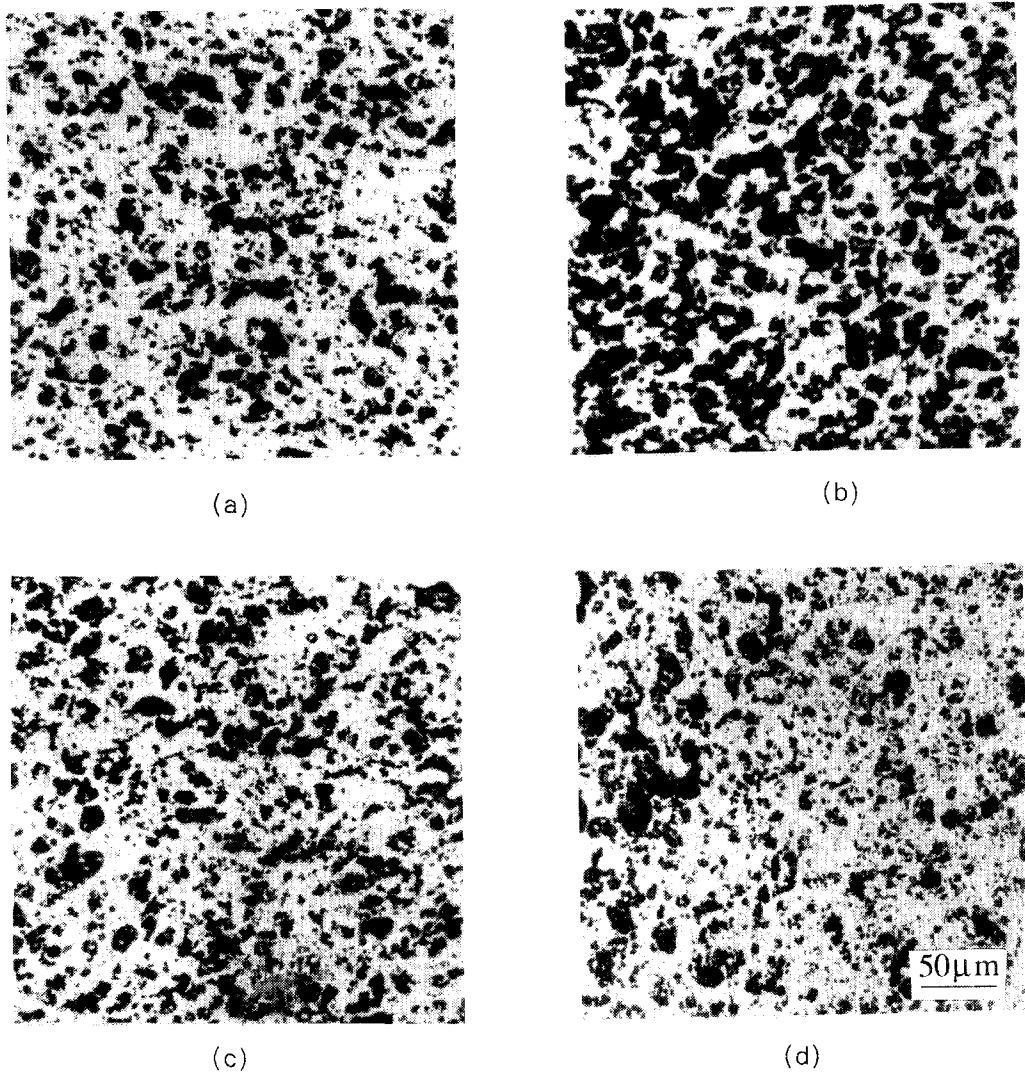


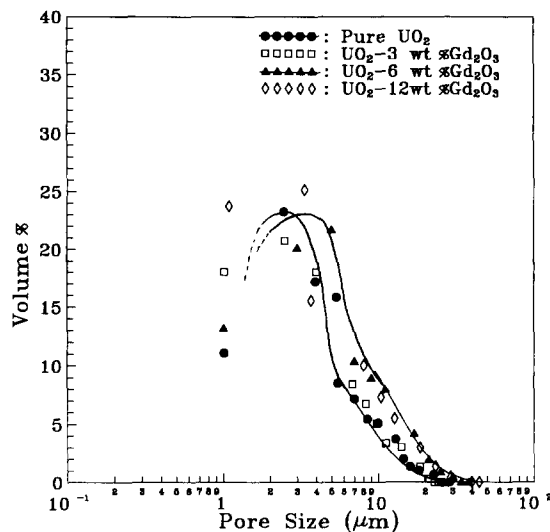
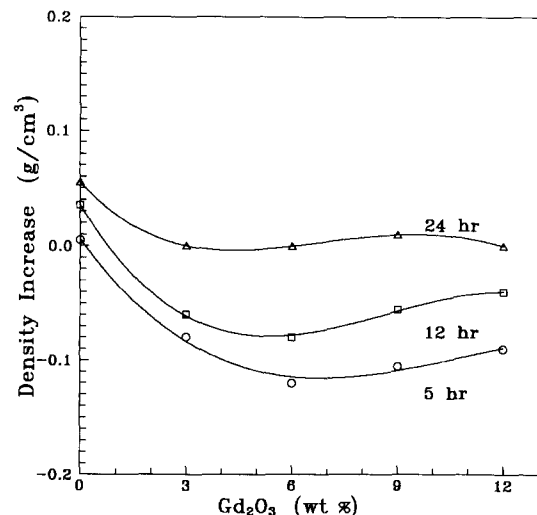
Fig. 4 Pore morphology of $\text{UO}_2\text{-Gd}_2\text{O}_3$ pellets
 (a) $\text{UO}_2\text{-}3\text{wt\% Gd}_2\text{O}_3$, (b) $\text{UO}_2\text{-}6\text{wt\% Gd}_2\text{O}_3$, (c) $\text{UO}_2\text{-}9\text{wt\% Gd}_2\text{O}_3$, (d) $\text{UO}_2\text{-}12\text{wt\% Gd}_2\text{O}_3$

루어 짐작할 수 있다. Gd_2O_3 가 6wt% 이상 첨가된 $\text{UO}_2\text{-Gd}_2\text{O}_3$ 소결체에서는 전기적 중성을 유지하기 위하여 산소침입(oxygen interstitial)이 형성되거나 U^{4+} 가 U^{3+} 로 산화되는 반응이 일어난다. 따라서 산소침입이 형성되면 산소전위(oxygen potential)가 높아지게 되어 우라늄이온의 확산속도가 증가될 것이고, U^{4+} 가 U^{3+} 로 산화되면 이온반경이 약 12% 정도 감소하여 확산속도가 증가하게 되어 결과적으로 소결성을 향상시키게 된다. 이러한 Gd_2O_3 가 6wt% 이상 첨가된 경우의 치밀화 현상은 Ho와 Radford⁷⁾가 수소분위기에서 소결했을

때 $\text{UO}_2\text{-Gd}_2\text{O}_3$ 계에서 세시한 모델과 부합된다.

3.2 재소결 밀도

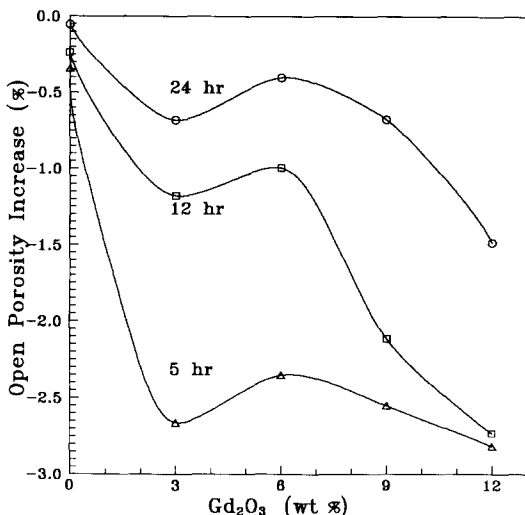
그림 6은 1750°C에서 4시간 동안 소결한 후 1700°C에서 5, 12, 24시간 동안 재소결하였을 때 첨가된 Gd_2O_3 함량에 따른 재소결 밀도변화를 나타내고 있다. 순수 UO_2 소결체는 재소결 시간에 따라 밀도가 증가하였다. 즉, 5시간 재소결 시 재소결 밀도증가는 0.0050 g/cm³, 12시간은 0.035 g/cm³, 24시간은 0.07 g/cm³의 밀도증가가 발생하였다. 즉,

Fig. 5. Pore size distribution with Gd_2O_3 contentsFig. 6. Density increase variation with Gd_2O_3 contents after resintering

재소결 시간이 길어짐에 따라 순수 UO_2 소결체는 치밀화(densification)현상에 의하여 밀도증가가 일어났다.

반면 $\text{UO}_2\text{-Gd}_2\text{O}_3$ 소결체를 5시간 재소결시켰을 때 밀도감소가 가장 커으며 24시간 재소결 시에는 밀도변화가 거의 없었다. $\text{UO}_2\text{-}6\text{wt\% Gd}_2\text{O}_3$ 소결체의 밀도가 5시간 및 12시간 재소결시 모두 가장 많이 감소하였다. 이는 재소결 전 $\text{UO}_2\text{-}6\text{wt\% Gd}_2\text{O}_3$ 소결체의 소결밀도가 가장 작은 것이 원인이라고 생각된다.

그림 7은 재소결 후 첨가된 Gd_2O_3 함량에

Fig. 7. Open porosity increase with Gd_2O_3 contents after resintering

따른 개기공도 변화를 재소결 시간에 대하여 보여주고 있다. 순수 UO_2 소결체의 개기공도 감소는 $\text{UO}_2\text{-Gd}_2\text{O}_3$ 소결체의 경우 보다 매우 적었다. 순수 UO_2 소결체의 경우, 5시간 재소결 시 0.345%, 12시간 재소결 시 0.24%, 24시간 재소결 시에는 0.055% 개기공도 감소가 발생하였다. $\text{UO}_2\text{-Gd}_2\text{O}_3$ 이 소결체에서 개기공도는 5시간 재소결했을 때 감소량이 최대였으며, 재소결 시간이 증가하여 24시간일 때 감소량은 최소가 되었다. 또한 각 재소결 시간에 따른 개기공도 감소는 $\text{UO}_2\text{-}6\text{wt\% Gd}_2\text{O}_3$ 소결체가 가장 적었으며 그 이상 첨가되면 증가하였다.

결과적으로 재소결 시간이 길어짐에 따라 순수 UO_2 소결체에서는 치밀화(densification) 현상이 발생하였으나, $\text{UO}_2\text{-Gd}_2\text{O}_3$ 소결체에서는 팽윤(swelling)현상이 발생하였다고 미루어 짐작할 수 있다. 실제로 소결체 밀도변화에 가장 직접적으로 영향을 미치는 인자는 기공도와 기공크기 분포이므로 재소결 후 UO_2 와 $\text{UO}_2\text{-Gd}_2\text{O}_3$ 소결체의 밀도변화 양상이 서로 다른 이유는 재소결 전 기공도와 기공크기 분포와 연관지어 설명이 가능하다. 재소결 전 $\text{UO}_2\text{-Gd}_2\text{O}_3$ 소결체의 전체 기공도는 순수 UO_2 소결체(약 3%) 보다 3배 큰 9%였고 20 μm 이상의 비교적 큰 기공 역시 순수 UO_2 소결체 보다 많았다. 반면에 1 μm 이하 미세기공의

분율은 순수 UO_2 소결체에서 보다 많이 분포하였다. 따라서 재소결을 수행하면 미세기공이 많은 순수 UO_2 소결체에서는 미세기공의 수축과 소멸로 인하여 치밀화^[1]가 주도된다. 한편 $\text{UO}_2\text{-Gd}_2\text{O}_3$ 소결체에는 재소결 전 존재하는 $20\mu\text{m}$ 이상의 큰 기공은 재소결 중 구형화 및 조대화되며 서로 연결되어 밀도감소를 유도하였다.

그림 8은 재소결 시간에 따른 $\text{UO}_2\text{-}6\text{wt\% Gd}_2\text{O}_3$ 소결체의 기공도를 보여주는 조직사진이다. 재소결 시간이 증가함에 따라 기공은 커지고 서로 연결되고 있음을 알 수 있다. 이

를 정량적으로 입증하기 위하여 Image Analyzer를 이용한 분석을 시도하였으나 기공들이 서로 너무 많이 연결되어 분석이 불가능하였다.

$\text{UO}_2\text{-Gd}_2\text{O}_3$ 소결체의 재소결 특성은 재소결 전에 생성된 비교적 큰 폐기공은 재소결 시간이 길어짐에 따라 조대화 및 구형화가 일어났고 개기공도는 증가하였다는 것이다. 5시간 이하 재소결하였을 때 폐기공도는 거의 변화가 없었으므로 밀도감소의 원인은 소결시 생성되었던 개기공도 감소가 지배적인 반면에 5시간 이상 재소결하였을 때는 폐기공의 구

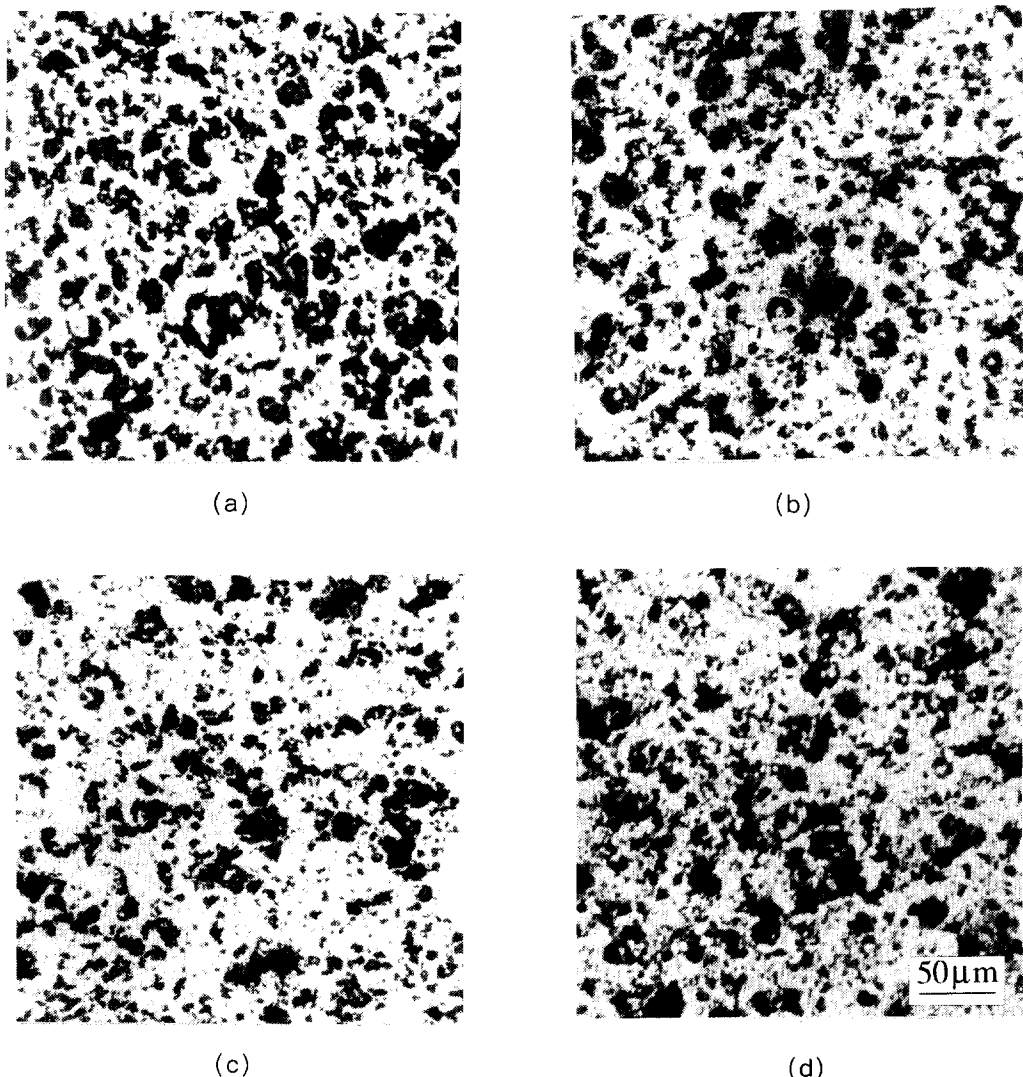


Fig. 8. Pore morphology of $\text{UO}_2\text{-}6\text{wt\% Gd}_2\text{O}_3$ pellets after resintering
(a) 0 hour (b) 5 hours (c) 12 hours (d) 24 hours

형화 및 조대화에 따른 연결이 지배적이라고 미루어 짐작할 수 있다. 따라서 재소결 후 밀도변화를 지배하는 기구는 5시간을 기점으로 서로 다르다고 판단된다.

4. 결 론

ex-AUC UO₂에 Gd₂O₃ 첨가가 소결 및 재소결 밀도에 미치는 영향을 고찰한 결과는 다음과 같다.

1) 순수 UO₂의 소결밀도는 97.2% T.D.이였으나 첨가량이 6wt% 일 때 까지는 UO₂-Gd₂O₃의 소결밀도가 U⁴⁺와 Gd³⁺의 상호확산 때문에 약 90% T.D.로 급격히 감소하였다. 그러나 Gd₂O₃가 6wt% 이상 첨가되면 우라늄이온 산화(U⁴⁺→U⁵⁺)와 산소침입으로 인하여 소결밀도는 오히려 증가하였다.

2) 소결밀도가 최소인 6wt% 첨가된 UO₂-Gd₂O₃ 소결체의 기공도가 최대였다.

3) 재소결 시간이 증가함에 따라 순수 UO₂ 소결체는 치밀화현상으로 재소결 후 밀도가 증가하였다.

4) UO₂-Gd₂O₃소결체를 재소결시킬 경우 재소결 후 밀도가 감소하였다. 밀도감소는 재소결시간에 반비례하였으며 UO₂-6wt% Gd₂O₃ 소결체의 밀도가 가장 많이 감소하였다.

참고문헌

1. F.B. Skogen and F.J. Kempf, Trans. Am. Nucl. Soc., 57, 36 (1988).
2. L. Goldstein and A.A. Strasser, Trans. Am. Nucl. Soc., 9, 402 (1966).
3. K.T. Kim and S.H. Kim, KAERI Report KAERI/OR-166/93, Taejon, Korea, (1993).
4. H.H. Davis and R.A. Potter, Mater. Sci. Res., 11, 515 (1974).
5. R. Manzel and W.O. Dorr, Am. Ceram. Soc. Bull., 59, 601 (1980).
6. K. Une and M. Oguma, J. Nucl. Mater., 131, 88, (1985).
7. S.M. Ho and K.C. Radford, Nucl. Tech., 73, 350 (1986).
8. ASTM Standard B328-92, (1992).
9. H.G. Riella, M. Durzzo, M. Hirata and R. A. Nogueira, J. Nucl. Mater., 178, 204 (1991).
10. H. Assmann, M. Peehs and H. Roepenack, J. Nucl. Mater., 153, 115 (1988).
11. H. Assmann, W. Dorr and M. Peehs, J. Am. Ceram. Soc., 67(9), 631 (1984).